

РОССИЙСКАЯ АКАДЕМИЯ НАУК  
ИНСТИТУТ ФИЗИЧЕСКИХ ПРОБЛЕМ имени П. Л. КАПИЦЫ

---

На правах рукописи

ЗМЕЕВ Дмитрий Евгеньевич

УДК 538.941

ИССЛЕДОВАНИЯ СВЕРХТЕКУЧИХ ФАЗ  
 $^3\text{He}$  В АЭРОГЕЛЕ

Специальность 01.04.09 — физика низких температур

Автореферат  
диссертации на соискание учёной степени  
кандидата физико-математических наук

МОСКВА 2006

Работа выполнена в Институте физических проблем им. П. Л. Капицы РАН.

Научный руководитель: доктор физико-математических наук,  
член-корреспондент РАН  
В. В. Дмитриев

Официальные оппоненты: доктор физико-математических наук,  
профессор  
М. С. Тагиров

доктор физико-математических наук,  
профессор  
Л. П. Межов-Деглин

Ведущая организация: Институт теоретической физики имени  
Л. Д. Ландау РАН

Защита диссертации состоится "24" января 2007 г. в 11 ч. на заседании  
Диссертационного совета Д 002.103.01 при Институте физических проблем  
им. П. Л. Капицы РАН 119334, г. Москва, ул. Косыгина 2.

С диссертацией можно ознакомиться в библиотеке Института физических про-  
блем им. П. Л. Капицы РАН.

Автореферат разослан "21" декабря 2006 г.

Учёный секретарь Диссертационного  
совета Д 002.103.01  
доктор физико-математических наук,  
член-корреспондент РАН

Л. А. Прозорова

# ОБЩАЯ ХАРАКТЕРИСТИКА РАБОТЫ

## Актуальность темы

Среди физических систем, обладающих сверхтекучестью, гелий-3 занимает выделенное место. Это вещество может находиться в нескольких различных сверхтекучих состояниях, проявляющих большое разнообразие всевозможных свойств. Такое разнообразие обусловлено нетривиальным куперовским спариванием квазичастиц в сверхтекучем состоянии с орбитальным моментом и ядерным спином равными единице. Несмотря на довольно сложную структуру параметра порядка, свойства сверхтекучего  $^3\text{He}$  хорошо изучены, и для многих явлений созданы количественные теории [1]. Кроме этого, сверхтекущий  $^3\text{He}$  — самое чистое вещество. Все примеси вымерзают на стенках сосуда, когда  $^3\text{He}$  становится сверхтекучим (при температурах ниже 2.5 мК), и даже изотоп —  $^4\text{He}$  — практически не растворяется в  $^3\text{He}$ . Представляет интерес изучение влияния примесей на такую чистую и сложную по своей природе систему. В то время как для сверхпроводников существует проблема избавления от примесей и прочих дефектов, внесение примесей в сверхтекущий  $^3\text{He}$  представляет сложность. Возможность вносить примеси в сверхтекущий  $^3\text{He}$  появилась начиная с 1995 г., когда была открыта сверхтекучесть  $^3\text{He}$  в аэрогеле высокой пористости [2, 3]. Аэрогель представляет собой неупорядоченную сеть из тончайших нитей, состоящих из молекул  $\text{SiO}_2$ . Поскольку диаметр нитей ( $\approx 30\text{\AA}$ ) много меньше длины когерентности куперовских пар (несколько сотен ангстрем), аэрогель играет роль примесей. Как и следовало ожидать, аэрогель понижает температуру сверхтекучего перехода, но кроме этого примеси могут, в принципе, изменять симметрию параметра порядка сверхтекучих фаз. Также как и в чистом сверхтекучем  $^3\text{He}$ , в  $^3\text{He}$  в аэрогеле в слабых магнитных полях реализуются две сверхтекущие фазы — при высоких температурах и давлениях наблюдается так называемая фаза А-типа, а в остальной области фазовой диаграммы — фаза В-типа. Установлено, что симметрия параметра порядка в фазе В-типа не меняется по сравнению с В-фазой чистого  $^3\text{He}$  [4, 5]. Однако количественные характеристики  $^3\text{He}$ -В могут

изменяться при внесении примесей. В частности, до данной работы была неизвестна леггеттовская частота в  ${}^3\text{He}-\text{B}$  в аэрогеле — величина, определяемая диполь-дипольным взаимодействием ядерных магнитных моментов в куперовской паре. Было известно, что пространственное распределение параметра порядка (текстура) в  ${}^3\text{He}-\text{B}$  в аэрогеле сильно отличается от текстуры в чистом  ${}^3\text{He}-\text{B}$ , но детально это различие изучено не было. Что касается фазы А-типа, то в настоящее время не известен даже вид её параметра порядка.

В диссертационной работе проводились исследования сверхтекущих фаз  ${}^3\text{He}$  в аэрогеле методами ЯМР, целью которых были измерение леггеттовской частоты в  ${}^3\text{He}-\text{B}$  в аэрогеле, изучение текстуры параметра порядка в  ${}^3\text{He}-\text{B}$  в аэрогеле, а также исследование фазы А-типа.

## **Научная новизна работы**

В работе была впервые измерена леггеттовская частота в В-фазе  ${}^3\text{He}$  в аэрогеле в широком диапазоне температур и давлений. Обнаружено, что параметр порядка в  ${}^3\text{He}-\text{B}$  в аэрогеле на границе со сверхтекущим чистым  ${}^3\text{He}$  ориентируется иначе, чем параметр порядка чистого  ${}^3\text{He}-\text{B}$  на границе с твёрдой стенкой. В фазе А-типа обнаружено два спиновых состояния, способных сосуществовать в объёме образца. Эти состояния существенно отличаются друг от друга свойствами, наблюдаемыми в экспериментах по ЯМР. Также впервые наблюдался продольный резонанс в обеих фазах  ${}^3\text{He}$  в аэрогеле.

## **Апробация работы**

Результаты, изложенные в работе, докладывались и обсуждались на следующих научных конференциях и симпозиумах:

- 24<sup>th</sup> International Conference on Low Temperature Physics, August 2005, Orlando, FL, USA
- International Symposium on Ultralow Temperature Physics, August 2005, Gainesville, FL, USA

- Symposium on Quantum Phenomena at Low Temperatures, April 2006, Lammi, Finland
- International Symposium on Quantum Fluids and Solids, August 2006, Kyoto, Japan
- XXXIV Совещание по физике низких температур, сентябрь 2006, Краснодарский край

По теме диссертации опубликовано 3 работы.

## Структура и объём диссертации

Диссертация состоит из введения, пяти глав и заключения. Общий объём работы составляет 90 страниц и включает в себя основной текст, 41 рисунок и список литературы.

## СОДЕРЖАНИЕ РАБОТЫ

Во введении кратко обоснована актуальность исследуемой проблемы, сформулированы цель и задачи диссертационной работы, приведено краткое содержание диссертации по главам.

В первой главе приводится краткий обзор базовых представлений о сверхтекучем  $^3\text{He}$ . Рассматриваются параметр порядка, вид дипольной энергии, приводятся основные уравнения спиновой динамики. Даётся понятие о текстурах вектора параметра порядка, излагаются методы измерения леггеттовской частоты в чистом  $^3\text{He-B}$ . Приводится фазовая диаграмма  $^3\text{He}$  в аэрогеле и описываются его основные свойства.

Во второй главе описана экспериментальная установка. Приводятся данные об аэрогеле и особенностях работы с ним. Кратко описан цикл ядерного размагничивания, описываются использовавшиеся в работе экспериментальные ячейки. Приводятся схемы использовавшихся ЯМР спектрометров и описываются принципы их работы.

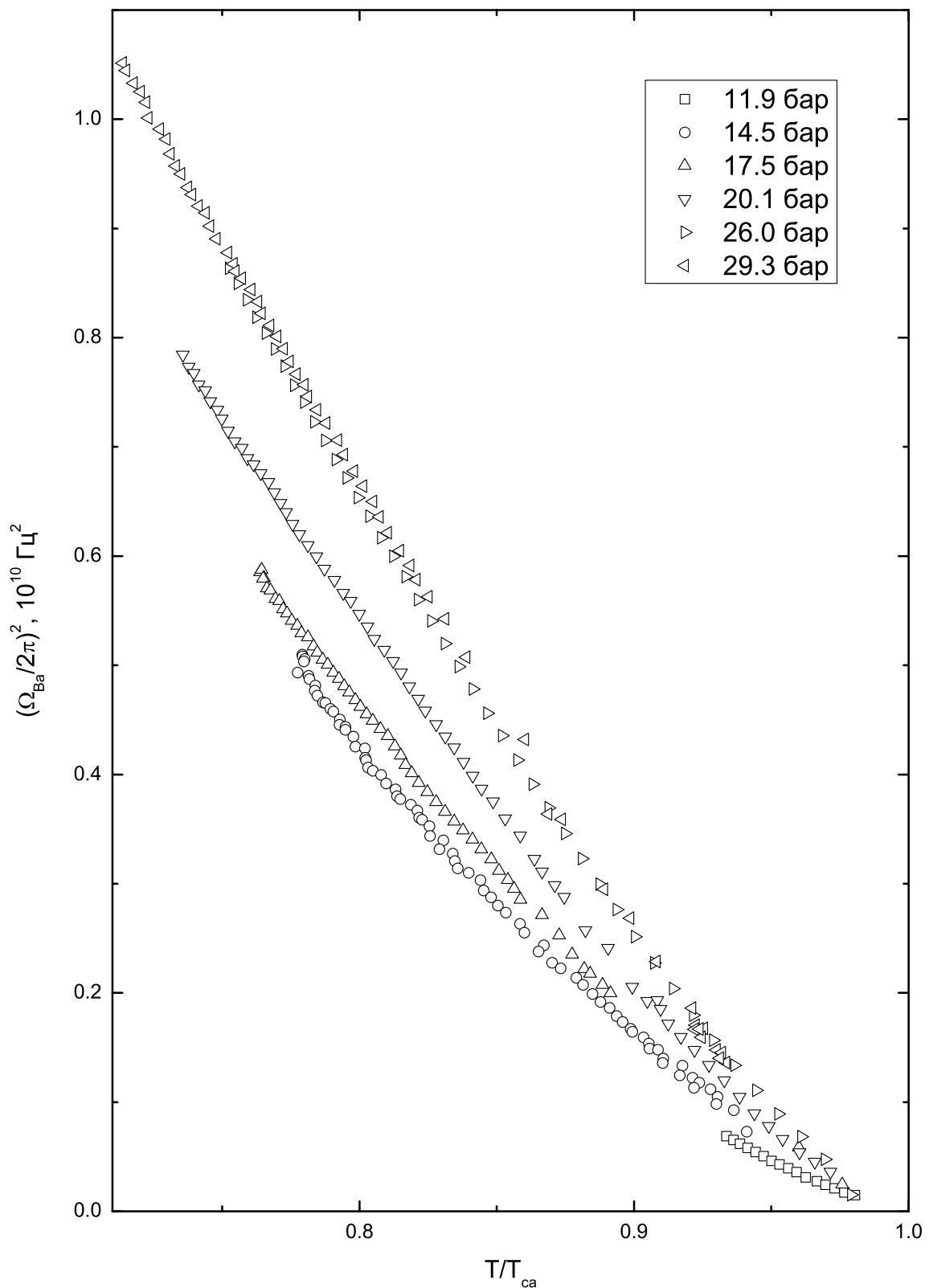


Рис. 1. Зависимость леггеттовской частоты в  ${}^3\text{He}-\text{B}$  в аэрогеле от температуры при разных давлениях.  $T_{ca}=T_{ca}(P)$  — температура сверхтекучего перехода в  ${}^3\text{He}$  в аэрогеле для соответствующих давлений.

В третьей главе излагается метод измерения леггеттовской частоты  $\Omega_{\text{Ba}}$  в  $^3\text{He}-\text{B}$  в аэрогеле с помощью поперечного ЯМР. В чистом  $^3\text{He}$ , при условии что текстура в образце известна, можно измерять леггеттовскую частоту, измеряя максимальный сдвиг частоты на линии ЯМР. Сделать измерения в  $^3\text{He}-\text{B}$  в аэрогеле напрямую, по аналогии с чистым  $^3\text{He}-\text{B}$ , не удавалось, поскольку на момент начала диссертационной работы линии ЯМР в  $^3\text{He}-\text{B}$  в аэрогеле не имели чёткой интерпретации в терминах текстуры параметра порядка. Обнаружив особенность на линии ЯМР и соотнеся её с максимально возможным дипольным сдвигом [6], мы получили возможность измерять леггеттовскую частоту. Причём диапазон давлений и температур, в которых имелась возможность провести измерения, был существенно больше, чем в более ранних измерениях [7] с помощью колебаний однородно прецессирующего домена (ОПД) (в этом методе не возникает трудностей, связанных с неизвестностью текстуры, поскольку она однородна). Измерения с помощью этих двух способов в перекрывающемся диапазоне дали одинаковые результаты. На рис. 1 представлены измеренные нами методом непрерывного ЯМР температурные зависимости  $\Omega_{\text{Ba}}$  при нескольких давлениях.

Температурные зависимости леггеттовской частоты в  $^3\text{He}-\text{B}$  в аэрогеле при разных давлениях обладают некоторыми свойствами, отсутствующими у аналогичных зависимостей в чистом  $^3\text{He}-\text{B}$ . Было обнаружено, что для разных давлений температурные зависимости  $\Omega_{\text{Ba}}^2 = \Omega_{\text{Ba}}^2(T_{\text{ca}} - T)$  совпадают (рис. 2). Установлено, что эта универсальная зависимость имеет степенной вид:  $\Omega_{\text{Ba}}^2 \propto (T_{\text{ca}} - T)^\alpha$ . Также было обнаружено, что линия сверхтекущих переходов в  $^3\text{He}$  в аэрогеле  $T_{\text{ca}} = T_{\text{ca}}(P)$  совпадает с некоторой изолинией, вдоль которой леггеттовская частота в чистом  $^3\text{He}-\text{B}$  остаётся постоянной ( $\Omega_{\text{B}} = \Omega_{\text{B}}(P, T) = \text{const}$ ). Было проверено, что эта закономерность выполняется для аэрогелей с разными плотностями, исследованными другими группами. Эти две эмпирические зависимости не имеют теоретического объяснения на настоящий момент.

Кроме измерений леггеттовской частоты методом поперечного ЯМР, были проведены измерения с помощью продольного ЯМР для одной фиксированной частоты продольной накачки.

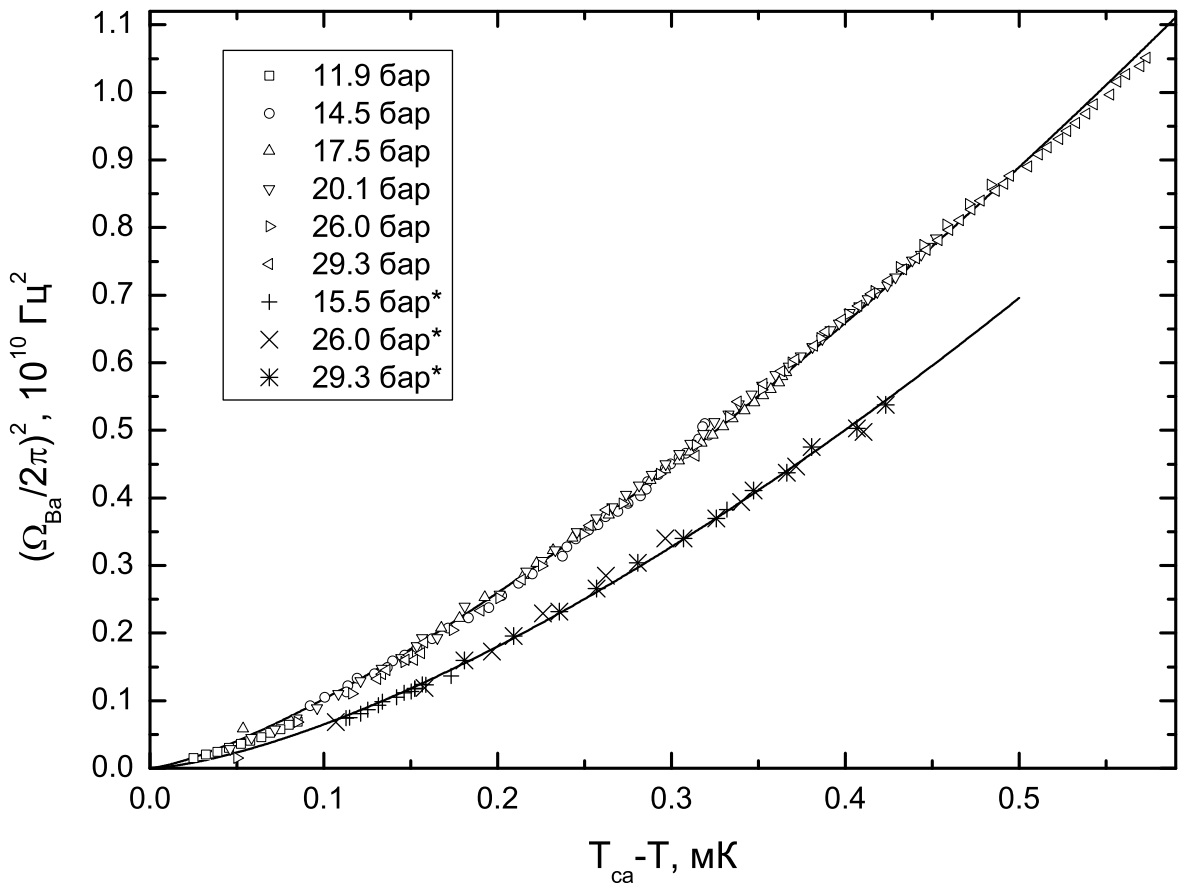


Рис. 2. Зависимость леггеттовской частоты в  ${}^3\text{He}-\text{B}$  в аэрогеле от  $(T_{ca}-T)$ .  $T_{ca}=T_{ca}(P)$  соответствует давлениям, при которых были получены температурные зависимости. Зависимость имеет степенной характер  $\Omega_{ba}^2 \propto (T_{ca}-T)^\alpha$ ,  $\alpha \approx 1.34$ . Звёздочками отмечены зависимости, измеренные нами в другом образце  ${}^3\text{He}$  в аэрогеле ( $\alpha \approx 1.48$ ).

Четвёртая глава посвящена исследованию пространственного распределения ориентации вектора параметра порядка (текстуры) в  ${}^3\text{He}-\text{B}$  в аэрогеле. Для изучения текстур параметра порядка удобно рассматривать вектор орбитального момента импульса  $\mathbf{L}$ , который появляется в  ${}^3\text{He}-\text{B}$  в магнитном поле. Пространственная ориентация  $\mathbf{L}$  в чистом  ${}^3\text{He}-\text{B}$  определяется минимизацией ориентационной энергии и выглядит следующим образом: вдали от стенок сосуда  $\mathbf{L}$  выстраивается вдоль магнитного поля, вблизи стенок сосуда направление  $\mathbf{L}$  перпендикулярно поверхности, а градиентная энергия не позволяет параметру порядка быстро изменять ориентацию по пространству.

На основе анализа экспериментальных данных нами выдвинуто предположение, что вектор  $\mathbf{L}$  ориентируется на границе  ${}^3\text{He}-\text{B}$  в аэрогеле – чистый  ${}^3\text{He}$  вдоль поверхности, а не перпендикулярно, как это происходит в чистом  ${}^3\text{He}-\text{B}$  вблизи твёрдой стенки. Предполагая, что вид ориентирующей текстуру энергии не изменяется в аэрогеле за исключением граничного условия, можно смоделировать равновесную текстуру и вид линии поглощения ЯМР. Сравнение результатов такого моделирования с экспериментальными данными подтверждает выдвинутое предположение.

Также проведены эксперименты в магнитных полях, направленных под углом к оси ячейки. Сигнал ЯМР сильно отличается от ожидаемого для геометрии ячейки сигнала в чистом  ${}^3\text{He}$  и также может быть качественно объяснён в предположении параллельности вектора  $\mathbf{L}$  поверхности аэрогеля. Форма линии не зависела от того, было ли направление магнитного поля изменено при низких температурах, после сверхтекущего перехода, или выше  $T_{ca}$ . Это означает, что возможные локальные неоднородности в объёме аэрогеля слабо влияют на ориентацию вектора параметра порядка.

Был обнаружен текстурный переход: особенность линии ЯМР, с помощью которой была измерена леггеттовская частота и которую мы связываем с текстурным дефектом, скачком исчезала вблизи температуры сверхтекущего перехода и не появлялась при последующем охлаждении.

Мы выяснили также, что вид фазы чистого  ${}^3\text{He}$  (A или B), окружающего образец с  ${}^3\text{He}-\text{B}$  в аэрогеле, не оказывает влияния на ориентирующий эффект границы.

В пятой главе изложены результаты экспериментов с высокотемпературной фазой  ${}^3\text{He}$  в аэрогеле — фазой A-типа. Приводится сравнение экспериментальных данных с результатами существующих теорий фазы A-типа [8, 9].

В этой фазе мы наблюдали два различных спиновых состояния с различающимися свойствами. При обычном охлаждении мы получали линию ЯМР с двумя пиками, которые мы соотнесли с двумя спиновыми состояниями. Сдвиг частоты в непрерывном ЯМР для одного из состояний ( $f$ ) превышал сдвиг частоты для другого состояния ( $c$ ) в 4 раза. Прикладывая при охлаждении через  $T_{ca}$  к образцу  ${}^3\text{He}$  в аэрогеле радиочастотные им-

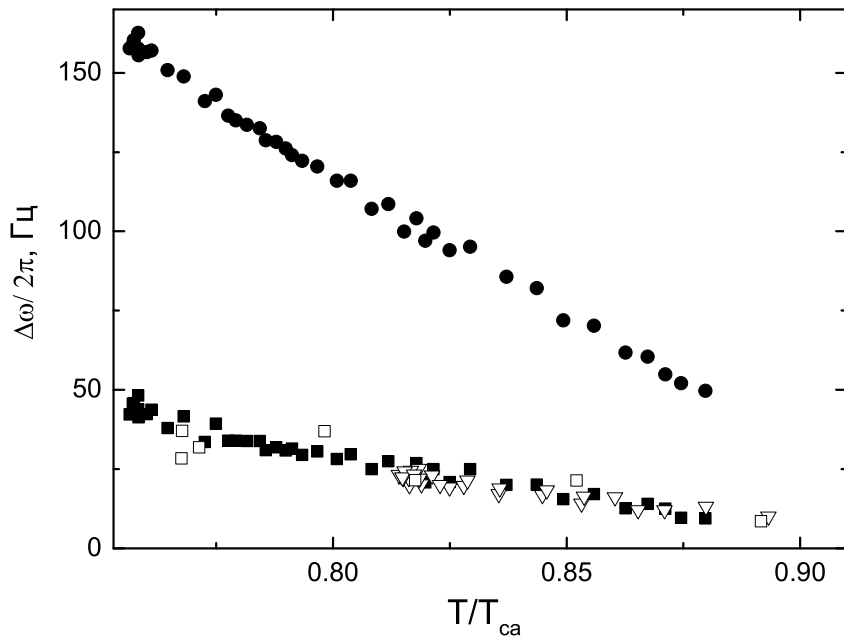


Рис. 3. Сдвиги частоты линий ЯМР: ● и ■ — пики (*f*) и (*c*) линии с двумя пиками соответственно, □ и ▽ — линии с одним пиком (*c*) на разных отогревах. Р=29.3бар, Н=224Э.

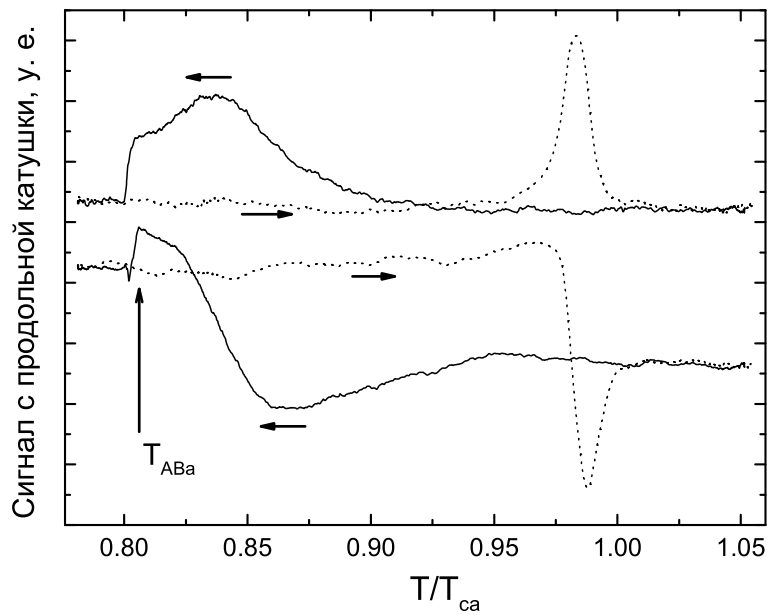


Рис. 4. Сигналы поглощения и дисперсии продольного ЯМР. Сигналы от фазы А-типа наблюдались при охлаждении (показаны сплошной линией), сигналы от В-фазы наблюдались при нагреве (показаны пунктирной линией). При температуре  $T_{ABA}$  происходит переход из фазы А-типа в В-фазу. Р=26.0бар, Н=224Э. Частота продольной накачки была равна 9593 Гц.

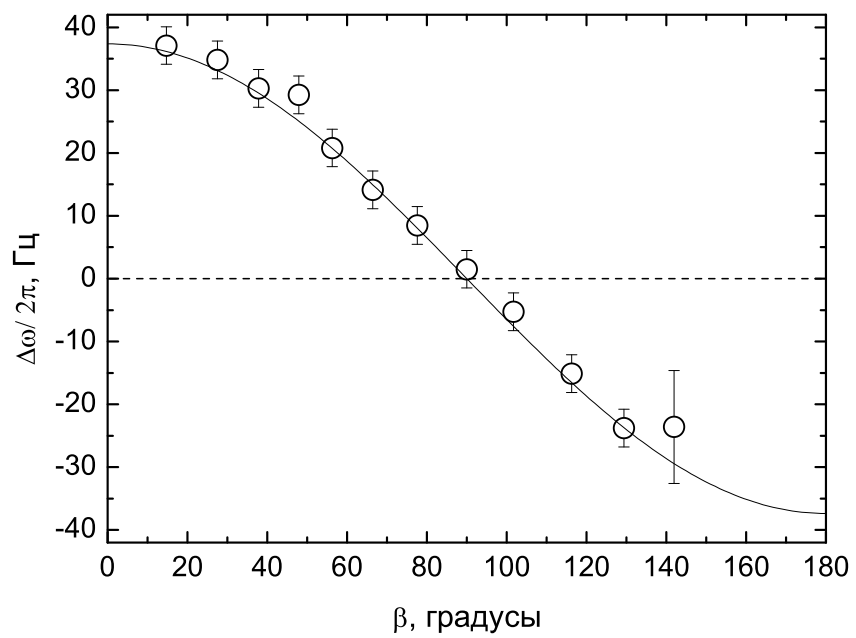


Рис. 5. Зависимость частоты сигнала свободной индукции от начально-го угла отклонения намагниченности в чистом состоянии ( $c$ ). Линией по-казан результат подгонки зависимости функцией  $(\omega - \omega_L)/2\pi = A \cos \beta$ .  $P=29.3$  бар,  $T=0.76 T_{ca}$ .  $H=224$  Э.

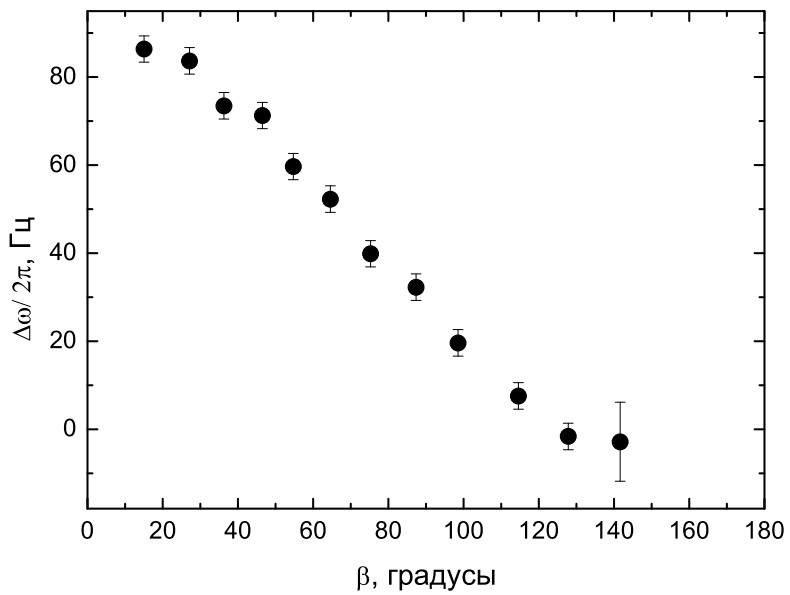


Рис. 6. Зависимость частоты сигнала свободной индукции от начального уг-ла отклонения намагниченности в состоянии ( $f + c$ ).  $P=29.3$  бар,  $T=0.76 T_{ca}$ .  $H=224$  Э.

пульсы, переворачивавшие намагниченность на  $180^\circ$ , мы получили линию с одним пиком, причём сдвиг частоты для неё соответствовал состоянию (*c*) (см. рис. 3). Состояние (*f*) в чистом виде получить не удалось.

На рис. 4 приведены результаты продольного ЯМР для смеси двух состояний (*f*) и (*c*). Для чистого состояния (*c*) сигнал продольного ЯМР обнаружен не был. Это означает, что сигнал на охлаждении на рис. 4 связан только с состоянием (*f*).

Состояния (*f*) и (*c*) обладают также сильно различающимися зависимостями сдвига частоты сигнала свободной индукции от угла отклонения намагниченности. На рис. 5 приведены результаты экспериментов по импульльному ЯМР для чистого состояния (*c*). Сдвиг частоты для этого состояния описывается формулой  $\Delta\omega/2\pi = (\omega - \omega_L)/2\pi = A \cos \beta$ , где  $\beta$  — начальный угол отклонения намагниченности.

Зависимость  $\Delta\omega(\beta)$  для смеси состояний (*f* + *c*) приведена на рис. 6. Интерпретация результатов в смеси состояний затруднена, поскольку предположительно сигнал индукции складывается из двух независимых сигналов от состояний (*f*) и (*c*).

На основании полученных экспериментальных данных не удается сделать однозначный вывод о том, какая из существующих теоретических моделей правильно описывает свойства фазы А-типа. Идентификация параметра порядка этой фазы требует дальнейших исследований, например изучения состояния (*f*) в чистом виде.

В заключении перечисляются результаты диссертации и предлагаются эксперименты, в которых могут быть использованы результаты диссертации и эксперименты, которые могли бы дополнить содержание диссертации.

## Основные результаты

1. Измерена леггеттовская частота в В-фазе  $^3\text{He}$  в аэрогеле с пористостью 98.2 % в широком диапазоне температур и давлений. Эмпирически обнаружены зависимости температуры сверхтекучего перехода в  $^3\text{He}$  в аэрогеле и универсальное поведение леггеттовской частоты в зависимости от температуры для разных давлений.
2. Предложено граничное условие для параметра порядка в  $^3\text{He}-\text{B}$  в аэрогеле на границе между  $^3\text{He}-\text{B}$  в аэрогеле и сверхтекучим чистым  $^3\text{He}$ .
3. В фазе А-типа  $^3\text{He}$  в аэрогеле обнаружены два спиновых состояния, названные ( $f$ ) и ( $c$ ). Эти состояния отличаются свойствами ЯМР, в частности в состоянии ( $c$ ) не наблюдается продольный резонанс. Сдвиг частоты от ларморовского значения в импульсном ЯМР в состоянии ( $c$ ) зависит от начального угла отклонения намагниченности  $\beta$  по формуле  $\Delta\omega = A \cos \beta$ . Полученные сведения об этих спиновых состояниях могут стать основой для идентификации параметра порядка в фазе А-типа.
4. Впервые наблюдались сигналы продольного резонанса в  $^3\text{He}$  в аэрогеле.

Результаты диссертации опубликованы в следующих работах:

- V. V. Dmitriev, N. Mulders, V. V. Zavalov and D. E. Zmeev. **NMR Studies of Texture in the B-like Phase of  $^3\text{He}$  in Aerogel.** *AIP Conf. Proceedings*, **850**, 225 (2006)
- V. V. Dmitriev, N. Mulders, V. V. Zavalov and D. E. Zmeev. **CW NMR Measurements of the Leggett Frequency in  $^3\text{He}-\text{B}$  in Aerogel.** *AIP Conf. Proceedings*, **850**, 229 (2006)
- V. V. Dmitriev, L. V. Levitin, N. Mulders, and D. E. Zmeev. **Longitudinal NMR and Spin States in the A-like Phase of  $^3\text{He}$  in Aerogel.** *Письма в ЖЭТФ*, **84**, 539 (2006)

## Литература

- [1] D. Vollhardt and P. Wölfle. The Superfluid Phases of Helium Three.  
*Taylor & Francis*, London (1990).
- [2] J. V. Porto and J. M. Parpia. *Phys. Rev. Lett.*, **74**, 4667 (1995).
- [3] D. T. Sprague, T. M. Haard, J. B. Kycia, et al. *Phys. Rev. Lett.*, **75**, 661 (1995).
- [4] B. I. Barker, Y. Lee, L. Polukhina, D. D. Osheroff, et al. *Phys. Rev. Lett.*, **85**, 2148 (2000).
- [5] Б. В. Дмитриев, В. В. Завьялов, Д. Е. Змеев и др. *Письма в ЖЭТФ*, **76**, 371 (2002).
- [6] V. V. Dmitriev, N. Mulders, V. V. Zavjalov and D. E. Zmeev. *AIP Conf. Proceedings*, **850**, 229 (2006).
- [7] Б. В. Дмитриев, В. В. Завьялов, Д. Е. Змеев, Н. Малдерс. *Письма в ЖЭТФ*, **79**, 612 (2004).
- [8] G. E. Volovik. *Письма в ЖЭТФ*, **84**, 533 (2006).
- [9] I. A. Fomin. *Письма в ЖЭТФ*, **84**, 740 (2006).